



BOLETÍN CLIMÁTICO

DIRECCIÓN ZONAL 2

El Servicio Nacional de Meteorología e Hidrología del Perú (SENAMHI), a través de su Dirección Zonal 2, presenta información sobre las condiciones meteorológicas registradas durante el último mes en los departamentos de Lambayeque, Amazonas y el norte y centro de Cajamarca. Este boletín tiene como propósito servir como una fuente de consulta y apoyo para la planificación, toma de decisiones, desarrollo de actividades socioeconómicas y gestión del riesgo. www.senamhi.gob.pe/?&p=boletines

1. CONDICIONES HIDROMETEOROLÓGICAS

1.1 RÉGIMEN DE LAS PRECIPITACIONES

Gran parte de los departamentos de Amazonas, Cajamarca (principalmente en sus sectores centro y norte) y Lambayeque evidenció una reducida ocurrencia de precipitaciones significativas (Figuras 1A), con más de 20 días secos (Figuras 1A); esta situación influyó en el régimen pluviométrico mensual registrado en diciembre 2025. En la vertiente oriental andina, los montos acumulados oscilaron entre 20 y 100 mm, mientras que en el flanco occidental predominaron registros generalmente inferiores a 20 mm (Figura 1C); ubicándose dichos acumulados por debajo de los promedios climatológicos característicos del mes, dando lugar a déficits que oscilaron entre -30 % y -100 % en los andes y Amazonía de nuestro ámbito. No obstante, en el litoral costero, pese a la baja frecuencia de lluvias, los registros resultaron suficientes para generar excedentes puntuales respecto a sus valores normales (Figura 1D).

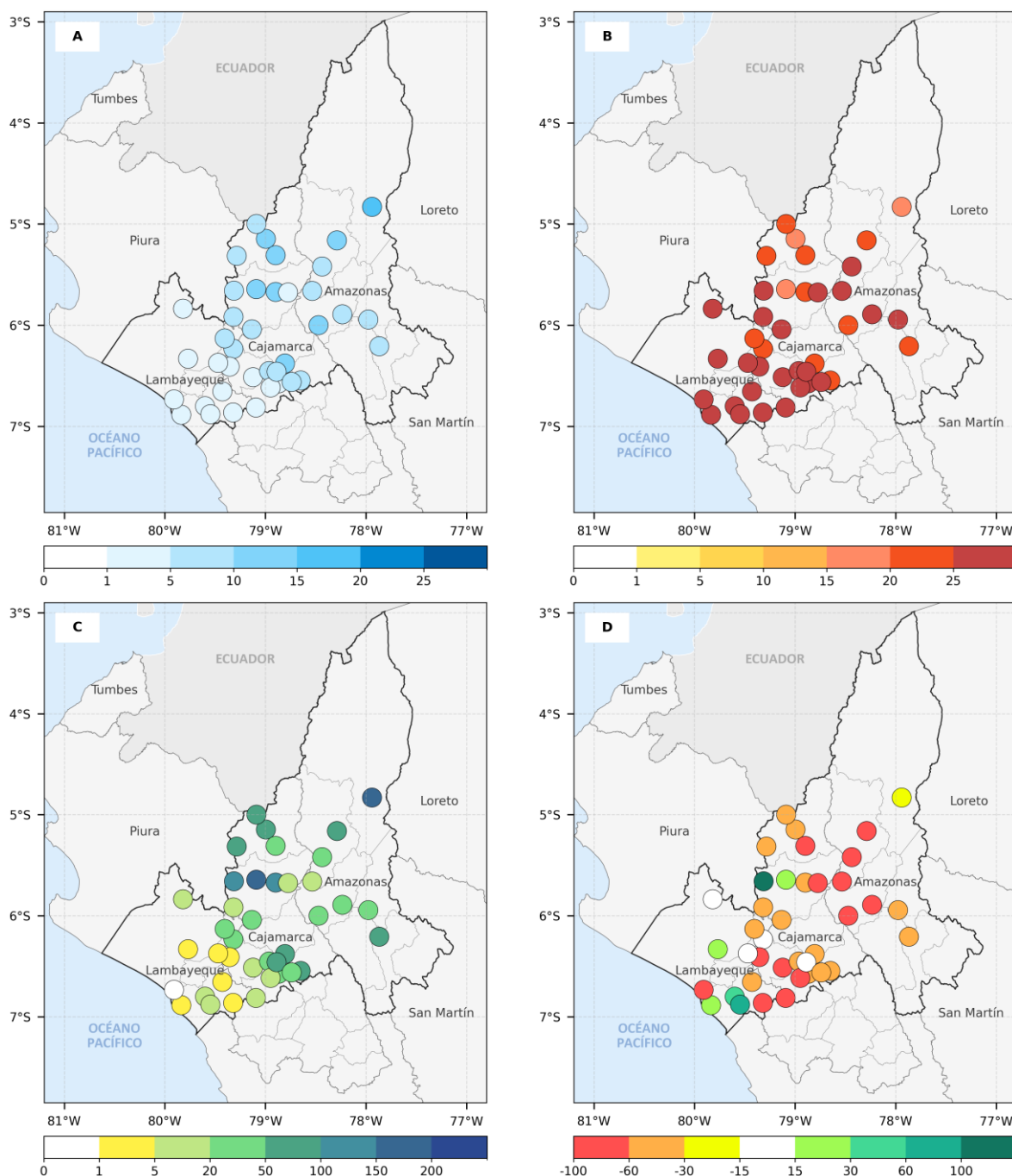


Figura 1. (A) Número de días con lluvia, (B) Total de días secos [$<1\text{ mm}$], (C) Acumulados [mm] y (D) anomalías porcentuales [%] de las precipitaciones registradas en el mes de diciembre de 2025. Fuente: Senamhi. Elaboración: DZ2

1.2 TEMPERATURAS EXTREMAS

Las temperaturas diurnas registradas en estaciones meteorológicas situadas por debajo de los 3100 m.s.n.m. presentaron variaciones según la región. Así, en la selva, la costa y algunos sectores de la sierra de nuestra jurisdicción, los valores máximos se situaron mayormente entre 24 y 36 °C; en cambio, en las zonas más elevadas de la región andina, las temperaturas durante el día fueron más frías, con registros que oscilaron entre 16 y 20 °C (Figura 2A); variando estos valores en general, de normales a cálidas (Figura 2B). Por su parte, durante la noche, se observó un patrón distinto; manteniéndose las temperaturas en la selva baja, iguales o superiores a 20 °C, mientras que en varios puntos de los andes Lambayecanos, el centro de Cajamarca y el sur de Amazonas, las mínimas descendieron hasta valores entre 4 y 12 °C. Asimismo, en la región costera de Lambayeque, las temperaturas nocturnas fluctuaron entre 16 y 20 °C (Figura 2C) denotadas en condiciones de normales a frías, como en gran parte del ámbito zonal (Figura 2D).

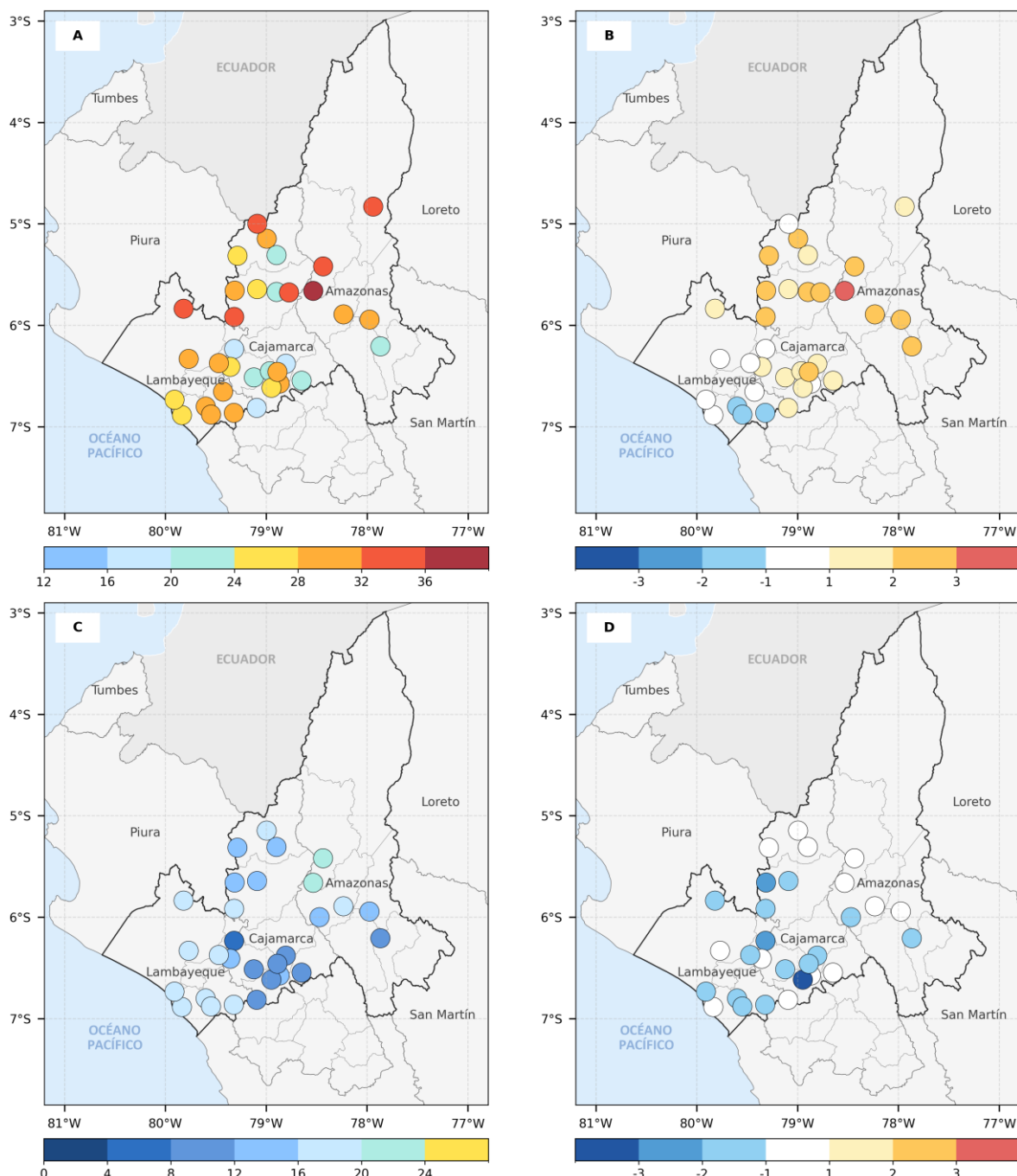


Figura 2. (A) Valores y (B) Anomalías de las temperaturas máximas [°C], (C) Valores y (D) Anomalías de las temperaturas mínimas [°C], registradas en el mes de diciembre de 2025. Fuente: Senamhi. Elaboración: DZ2

2. CONDICIONES ATMOSFÉRICAS

2.1 Flujo en niveles altos de la tropósfera

En los niveles altos (Figura 3A) de la tropósfera se identificó la presencia de un sistema anticiclónico sobre el altiplano de Bolivia, el cual indujo zonas de divergencia (Figura 3B) principalmente sobre el sur y centro del territorio peruano. Sin embargo debido a su ubicación desplazada hacia el sureste de Bolivia, este sistema permitió su interacción con una vaguada localizada sobre el océano Pacífico oriental, dando como resultado que los vientos en altura adquirieran una componente predominantemente del oeste, desplazándose hacia el noroccidente del Perú y favoreciendo la formación de un collado en dicha región; propiciando esto la presencia de convergencia en el noroccidente peruano, acompañada de movimientos descendentes hacia niveles bajos de la atmósfera. Estableciéndose en consecuencia, condiciones de mayor estabilidad atmosférica, los cuales limitaron el desarrollo de la convección profunda típica en este período y favoreciendo contrariamente, una actividad convectiva débil y dispersa.

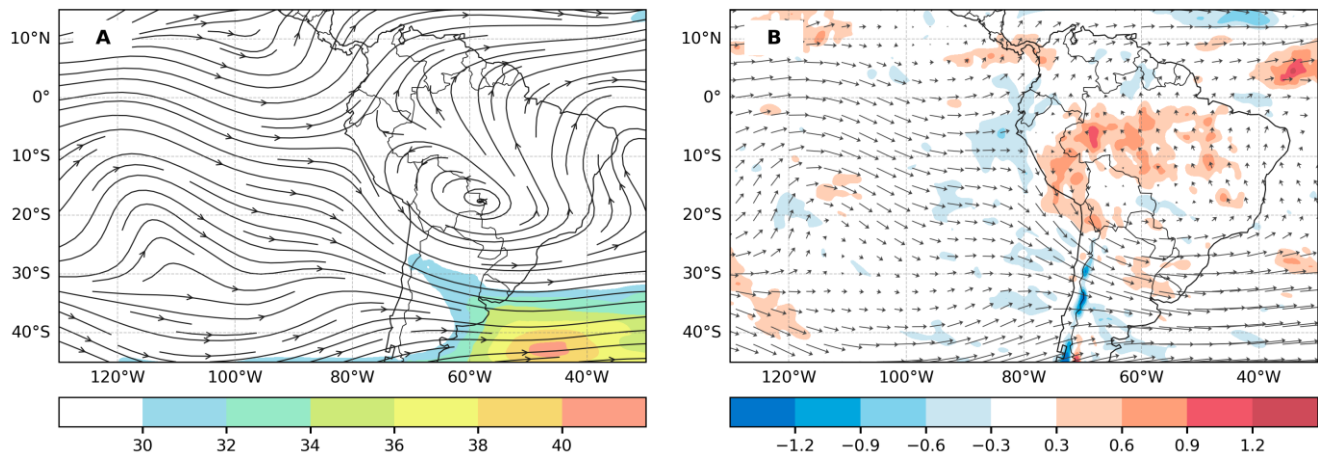


Figura 3. (A) Líneas de corriente y velocidad de viento [$> 30\text{m/s}$] y; (B) la distribución de la divergencia [10^{-5}s^{-1}] en 250 hPa para el mes de diciembre de 2025. Fuente: ECMWF. Elaboración: DZ2

2.2 Niveles medios de la tropósfera

En el noroeste del Perú, los vientos descendentes hacia niveles intermedios coincidieron con un contenido reducido de vapor de agua en la atmósfera media (Figura 4A), con relaciones de mezcla entre 1 y 2.5 g/kg, claramente inferiores a los valores típicos de diciembre; esta deficiencia (Figura 4B), superior a 1 g/kg respecto a lo normal, limitó los procesos de retroalimentación necesarios para la formación de nubosidad generadora de precipitaciones.

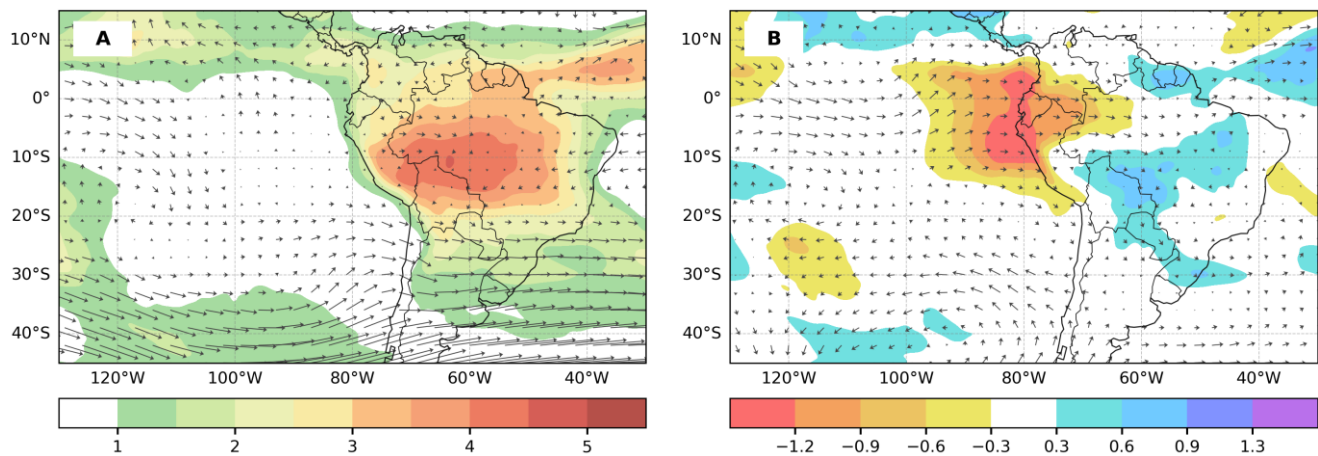


Figura 4. (A) Relación de mezcla [g/kg] y viento a 500 hPa en diciembre de 2025; y (B) sus anomalías respecto al periodo 1991–2020. Fuente: ECMWF. Elaboración: DZ2

Además, entre los niveles de 600 y 200 hPa (Figura 5A) se observó un contenido reducido de humedad relativa, con valores que fluctuaron entre 20 y 40 %, asociado a la persistencia de vientos del oeste en niveles medios y altos; limitando esta configuración atmosférica el ingreso de humedad proveniente de la Amazonía, además propiciando una deficiencia marcada (Figura 5B) que alcanzó anomalías inferiores a -16 %, evidenciada en las notables condiciones de sequedad. Influyendo así esta advección de aire seco en un mayor enfriamiento nocturno y en contraste, un aumento de las temperaturas diurnas; favoreciendo esta combinación de atmósfera seca, vientos persistentes y altas temperaturas en un ambiente propicio para la propagación de incendios forestales, tanto en ecosistemas naturales como en áreas agrícolas, e incluso muchos de ellos originados por actividades humanas.

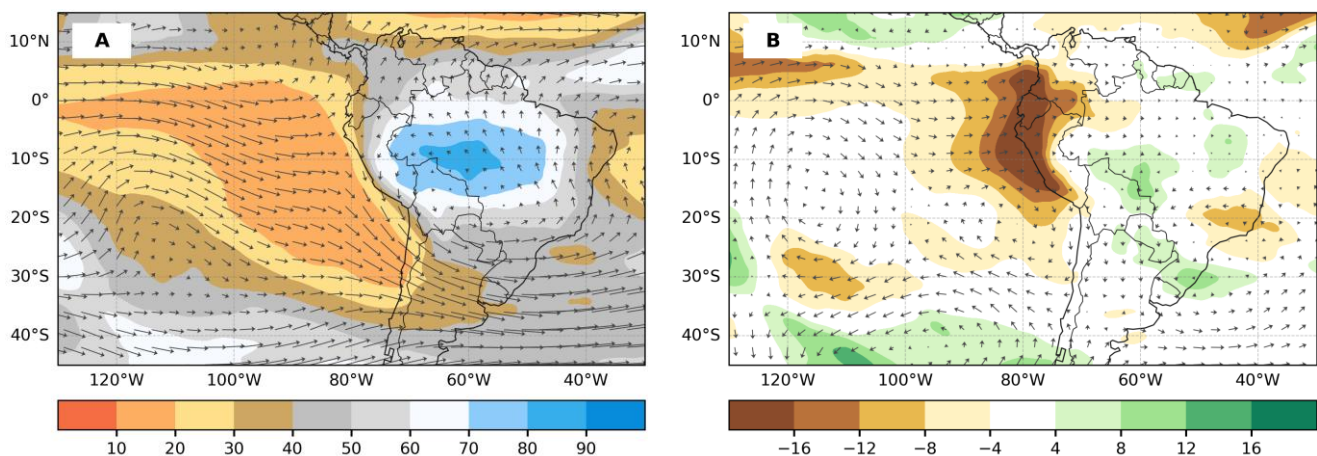


Figura 5. (A) Humedad relativa y viento promediados entre 600 y 200 hPa en el mes de diciembre de 2025; y (B) sus anomalías respecto al periodo 1991–2020. Fuente: ECMWF. Elaboración: DZ2

2.3 Comportamiento en niveles bajos de la tropósfera

En superficie se identificaron áreas de baja presión sobre la vertiente oriental de la cordillera de los Andes (Figura 6A), con valores entre 1008 y 1011 hPa, que en escenarios con humedad suelen favorecer el desarrollo de nubosidad convectiva; sin embargo, la configuración atmosférica en niveles superiores no resultó favorable, por lo que la actividad convectiva fue limitada en la Amazonía y la sierra, incluyendo los departamentos de Amazonas y Cajamarca. En contraste, el Anticiclón del Pacífico suroriental se mantuvo frente a la costa chilena con una configuración zonal y un núcleo cercano a 1023 hPa, configurando su posición habitual (Figura 6B); favoreciendo esta situación el predominio de vientos del sur hacia el norte a lo largo de la costa de Lambayeque, e intensificando la sensación de frío durante la noche y generando vientos moderados en horas de la tarde. Observándose así mismo que, el Anticiclón del Atlántico sur permaneció alejado del centro-occidente de Sudamérica.

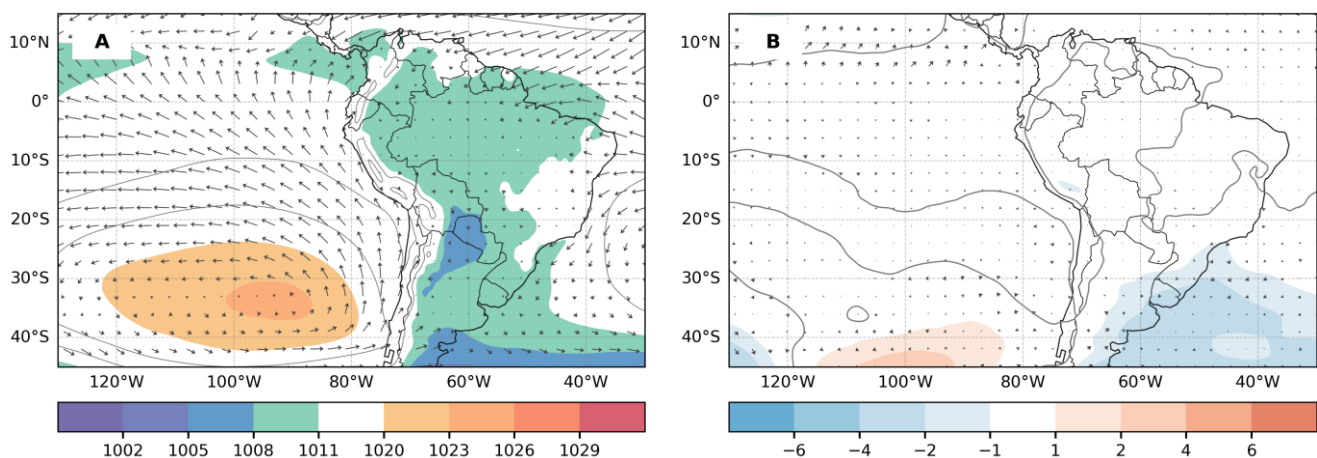


Figura 6. (A) Presión a nivel del mar [hPa] y viento superficial en diciembre de 2025; y (B) sus anomalías respecto al periodo 1991–2020. Fuente: ECMWF. Elaboración: DZ2

3. CONDICIONES OCEÁNICAS

3.1 Temperatura superficial del mar

La distribución de la temperatura superficial del mar en el océano Pacífico mostró un marcado contraste térmico entre el sector oriental y la región centro-occidental. Frente a la costa del Perú y en la faja ecuatorial este (Figura 7A), predominando valores menores a 23 °C que denotaron una transición progresiva hacia aguas más cálidas conforme se avanzó hacia el oeste, alcanzando temperaturas superiores a 28 °C en las proximidades de Oceanía; resultando este movimiento poco habitual para el mes de diciembre 2025, pues se identificaron anomalías negativas (Figura 7B) entre -0.5 y -2 °C frente al norte peruano, asociadas probablemente al reforzamiento de la surgencia de aguas frías e incidiendo en las condiciones térmicas del aire en la costa de Lambayeque. En contraste, el mar frente a la costa sur del Perú y el Pacífico occidental presentó anomalías positivas entre 0.5 a 2.5 °C, vinculadas a desplazamientos emergentes y/o la advección de aguas relativamente más cálidas procedentes de latitudes subtropicales; no obstante, aunque estas áreas mostraron anomalías cálidas, las temperaturas absolutas siguieron siendo bajas, entre 18 y 20 °C.

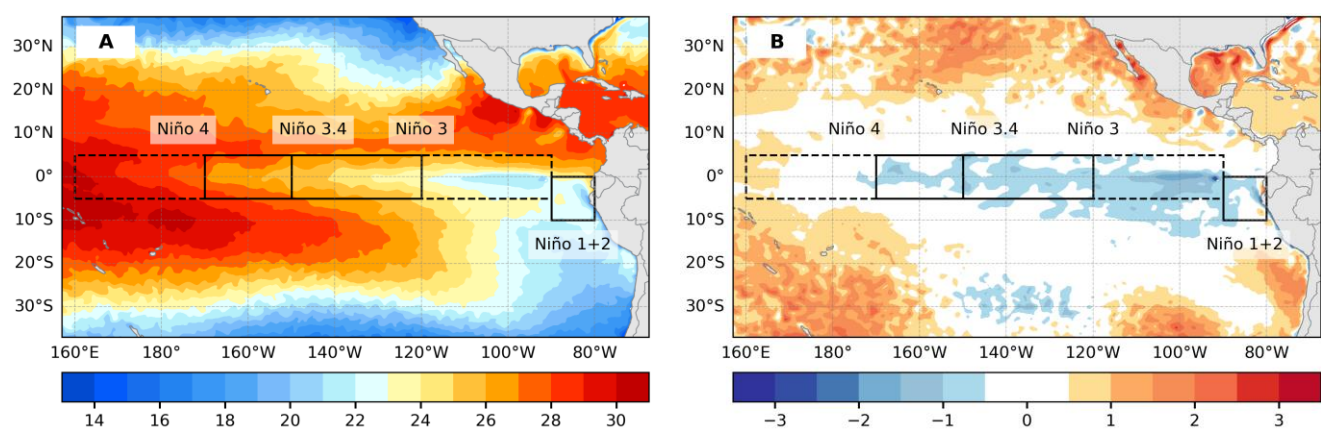


Figura 7. (A) Distribución de las temperaturas superficiales del mar [°C] y sus (B) anomalías en el Pacífico tropical para el mes de diciembre de 2025. Fuente: NOAA. Elaboración: DZ2

De manera sectorizada, las regiones Niño registraron anomalías térmicas mensuales negativas durante los últimos cuatro meses de 2025 (Figura 8), evidenciando condiciones relativamente frías en la franja ecuatorial del océano Pacífico. Este comportamiento contrasta con el período de 2023, cuando las anomalías superaron los +1 °C. En particular, la región **Niño 1+2** presentó un promedio de **-0.71 °C**, mientras que la región **Niño 3** alcanzó **-0.78 °C**. Asimismo, en las regiones **Niño 3.4** y **Niño 4** se observaron valores medios de **-0.66** y **-0.36 °C**, respectivamente, reforzando el escenario térmico frío frente a la costa de Lambayeque.

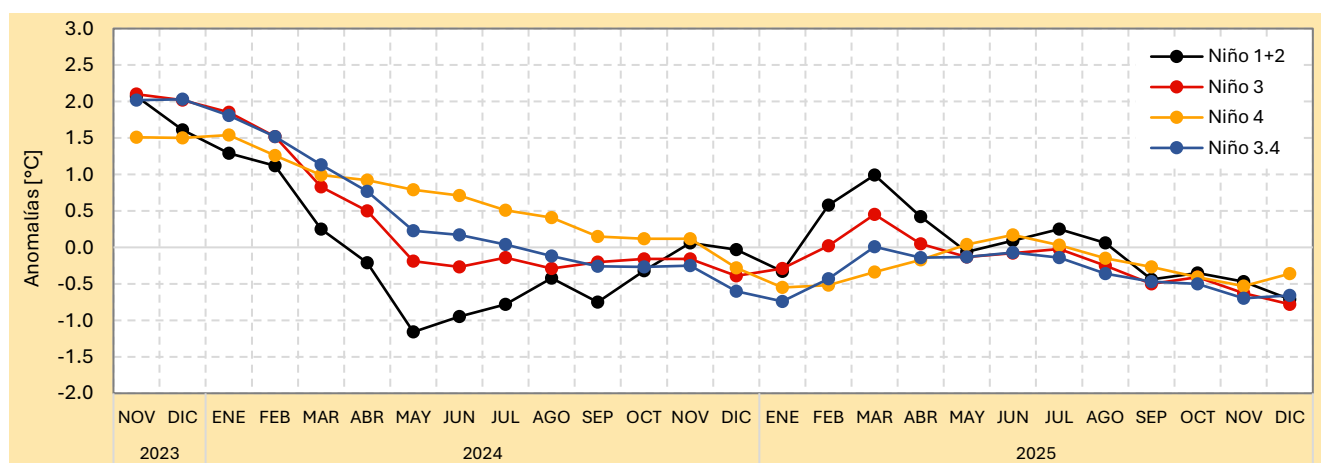


Figura 8. Comportamiento temporal de las anomalías mensuales de la temperatura superficial del mar en las regiones “Niño”.
Fuente: ERSSTv5 / NOAA. Elaboración: DZ2

3.2 COMUNICADO OFICIAL ENFEN N°13-2025

De acuerdo con la evaluación realizada por la Comisión Multisectorial del ENFEN, sustentada en el seguimiento de las condiciones oceánicas y atmosféricas actuales, así como en la información proveniente de modelos climáticos nacionales e internacionales, el Sistema de Alerta ante El Niño Costero / La Niña Costera se mantiene en estado **NO ACTIVO** para la región Niño 1+2.

En ese contexto, para el verano austral comprendido entre diciembre de 2025 y marzo de 2026 (Figura 9A), se estima que en la región Niño 1+2 predominan condiciones neutrales, con una probabilidad cercana al 58 %, mientras que los escenarios cálidos presentan una probabilidad menor, del orden del 32 %. Posteriormente, a partir de abril de 2026, los análisis indican un mayor favorecimiento de condiciones cálidas débiles, las cuales podrían extenderse, al menos, hasta el mes de mayo del mismo año. Por su parte, en el Pacífico central (Figura 9B), correspondiente a la región Niño 3.4, los resultados sugieren la continuidad de una fase fría débil hasta enero de 2026. Durante el verano 2025–2026, la condición más probable sería la neutral, con una probabilidad estimada del 52 %, seguida por la fase fría débil con un 43 %. No obstante, durante el mes de otoño, los escenarios cálidos débiles tenderían a incrementarse.

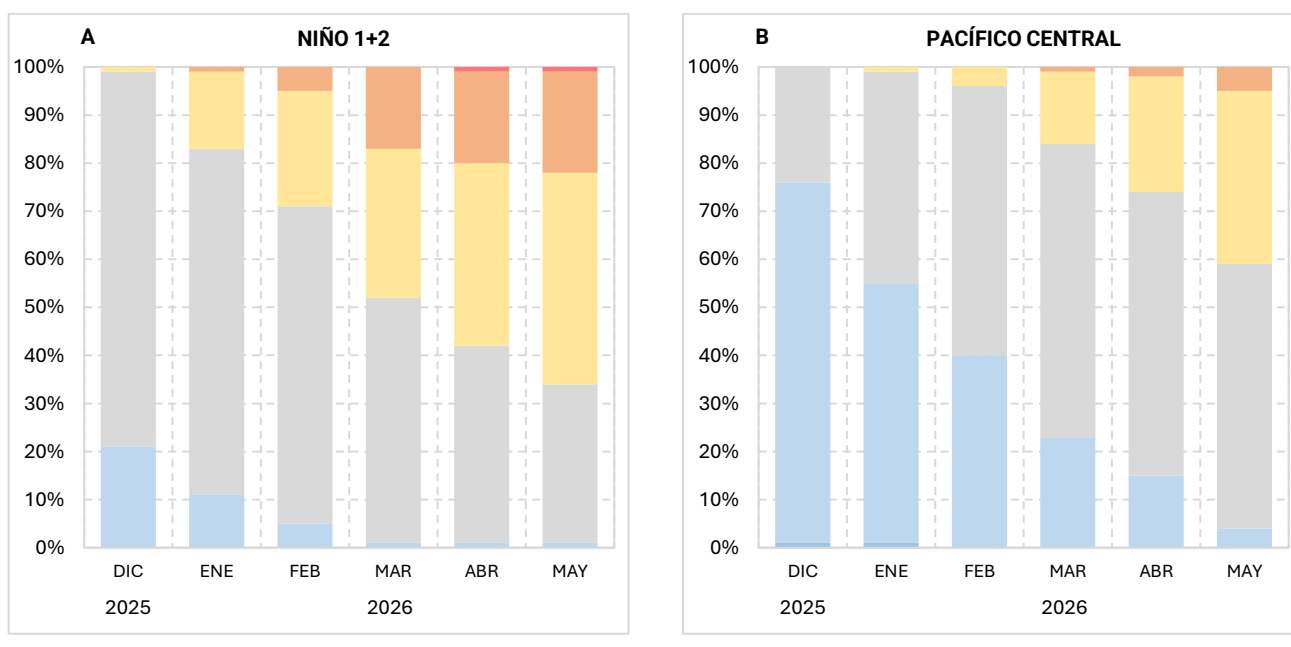


Figura 9. Probabilidades de ocurrencia de El Niño/La Niña frente a (a) la costa norte y centro del Perú [región Niño 1+2] y (b) el océano Pacífico central [región Niño 3.4]. Fuente: ENFEN. Elaboración: DZ2.

Para el trimestre comprendido entre enero de 2025 y marzo de 2026, se proyecta que las precipitaciones en la costa norte y en la vertiente occidental de los Andes del norte del país se mantengan, en términos generales, dentro de los rangos normales. No obstante, existe la posibilidad de que se registren episodios de lluvia de moderada intensidad y distribución puntual, principalmente hacia el mes de marzo. En lo que respecta al comportamiento hidrológico, los ríos de la Vertiente Hidrográfica del Pacífico presentarían, de manera predominante, caudales próximos a sus valores habituales. Sin embargo, no se descarta la ocurrencia de incrementos súbitos en los niveles de agua, asociados a eventos de precipitación concentrados. Ante este escenario, se recomienda a los tomadores de decisiones adoptar medidas orientadas a la prevención, preparación y reducción del riesgo de desastres; y se exhorta, además, mantenerse informada a través de las fuentes oficiales del ENFEN:



Figura 10. Entidades que conforman la Comisión Multisectorial Encargada del Estudio Nacional del Fenómeno “El Niño”



BOLETÍN CLIMÁTICO

Servicio Nacional de Meteorología e Hidrología del Perú - SENAMHI

Dirección Zonal 2 - Lambayeque (Lambayeque, Amazonas y centro-norte de Cajamarca)

PRÓXIMA ACTUALIZACIÓN: FEBRERO 2026

El boletín climático se encuentra en:

www.senamhi.gob.pe/?&p=boletines

Encuesta de satisfacción:

<https://forms.gle/R4M89L4AUSeipNeX8>



PRESIDENTE EJECUTIVO

Dra. Romina Caminada Vallejo
rcaminada@senamhi.gob.pe

DIRECTOR ZONAL 2

Ms. Sc. Ing. Hugo Pantoja Tapia
hpantoja@senamhi.gob.pe

ANALISTA METEOROLÓGICO

Ing. Joel Alania Sumaran
jalania@senamhi.gob.pe

SENAMHI

Dirección Zonal 2 – Lambayeque

Ubicación:

Manzana E - Lote 19, Calle Los Algarrobos
(esquina con Av. La Colectora).
Urb. Villa del Norte Chiclayo, Lambayeque

Contacto:

Teléfono: 074 - 650 614
Correo: dz2@senamhi.gob.pe